

УДК 532.529

## О ТЕЧЕНИЯХ С ЗАМКНУТЫМИ ЛИНИЯМИ ТОКА И ДВИЖЕНИИ КАПЕЛЬ ПРИ БОЛЬШИХ ЧИСЛАХ РЕЙНОЛЬДСА

ВОИНОВ О. В., ПЕТРОВ А. Г.

Предложен общий асимптотический метод описания течений вязкой несжимаемой жидкости с замкнутыми линиями тока при больших числах Рейнольдса, позволяющий вычислять неизвестную постоянную в теореме Прандтля — Бэтчелора для широкого класса задач.

Рассмотрена задача о движении сферической капли в жидкости. Получены и решены уравнения пограничного слоя внутри капли. Показано, что поле скорости внутри капли стремится с ростом числа Рейнольдса к скорости течения вихря Хилла. На основе решения уравнений пограничного слоя выведена формула для постоянной интенсивности вихря внутри капли, подтверждающая общее соотношение, полученное в работе. Проводится сравнение асимптотической теории с численными расчетами различных авторов.

Установлен закон подобия для жидких капель по двум критериям (вместо трех в общем случае) при относительно медленном внутреннем движении. Этот случай обычно имеет место для жидких капель, движущихся в газах при большом числе Рейнольдса.

**1. Метод расчета течений с замкнутыми линиями тока при больших числах Рейнольдса.** Пусть имеется область  $V$  установившегося осесимметричного движения жидкости с замкнутыми линиями тока, ограниченная замкнутой осесимметричной поверхностью тока  $\partial V$ . Число Рейнольдса предполагается большим по сравнению с единицей. Как известно [1–4], при больших числах Рейнольдса — в пределе исчезающе малой вязкости  $\nu \rightarrow 0$  — существует предельный режим движения с замкнутыми линиями тока, в котором абсолютная величина вихря  $\omega = \text{rot } v$  пропорциональна расстоянию до оси симметрии  $y$ . В соответствующей плоской задаче вихрь постоянен. Этот факт составляет содержание теоремы Прандтля — Бэтчелора. Известные доказательства этой теоремы содержат определенные допущения [1–4]. В монографии [4] доказательство проведено для плоской задачи в предположении, что на границе

$$\nu \Delta \omega / \nu \rightarrow 0 \quad (\nu \rightarrow 0) \quad (1.1)$$

Доказательство распространяется на осесимметричное течение в аналогичном предположении для величины  $\omega/y$ .

В соответствии с теоремой предельное поле скоростей  $v_0$  определяется с точностью до постоянного множителя  $c$

$$v_0 = c l^2 \varphi_0; \quad \omega = |\text{rot } v_0| = c y \quad (1.2)$$

где  $l$  — диаметр области  $V$ ,  $\varphi_0$  — безразмерная функция, не зависящая от числа Рейнольдса, определяемого по формуле

$$\text{Re} = c l^3 / \nu \gg 1$$

Известно немного примеров применения теоремы Прандтля — Бэтчелора [1, 2, 5, 6], использование которой затруднено из-за отсутствия метода вычисления неизвестной постоянной  $c$  в предельном решении. В связи с этим представляет интерес отыскание общего класса задач,

в котором возможен общий способ определения неизвестной интенсивности вихря  $s$  через заданные граничные условия, с тем чтобы получать асимптотические решения соответствующих краевых задач.

В случае задания касательной скорости на границе задача построения асимптотического решения с учетом пограничного слоя около границы достаточно сложна даже для областей частного вида в форме эллипса с малым эксцентриситетом при простейшем условии постоянства скорости на границе [5].

Вместо задач, в которых задается касательная скорость на замкнутой поверхности тока, будем рассматривать общий класс задач, в которых задается касательное напряжение  $\sigma_\tau$  на поверхности. При этом для скорости  $v$  на границе  $\partial V$  имеет место условие

$$\mu \frac{h_2}{h_1} \frac{\partial}{\partial x_1} \left( \frac{v_2}{h_2} \right) = \sigma_\tau(x_2) = \sigma\tau(x_2), \quad x_1=0 \quad (1.3)$$

где  $x_1, x_2$  — ортогональные криволинейные координаты,  $h_1, h_2$  — коэффициенты Ламе,  $\tau$  — безразмерная функция, постоянная величина  $\sigma$  имеет размерность напряжения;  $x_1=0$  — уравнение граничной поверхности  $\partial V$ .

Проанализируем вид решения в области пограничного слоя вблизи поверхностного тока  $\partial V$ , на которой задано касательное напряжение  $\sigma_\tau$ . На поверхности тока вне пограничного слоя толщиной порядка  $1/\sqrt{\text{Re}}$  выполняется условие (1.1) и скорость  $v$  внутри этой поверхности тока стремится к предельной  $v_0$ , которая соответствует постоянной интенсивности вихря. Внутри пограничного слоя скорости  $v$  и  $v_0$  могут различаться. Таким образом, скорость внутри  $V$  представляется в виде

$$v = v_0 + \delta v \quad (1.4)$$

где  $v_0$  соответствует предельному при  $\text{Re} \rightarrow \infty$  решению уравнений Навье — Стокса, изменяющемуся на масштабе  $l$ , а величина  $\delta v$  представляет собой добавку, которая отлична от нуля в области пограничного слоя и стремится к нулю с удалением от поверхности  $\partial V$ .

Масштаб изменения функции  $\delta v$  определяется числом Рейнольдса

$$\delta v = \delta v(x, x_2), \quad x = x_1 \sqrt{\text{Re}} \quad (1.5)$$

причем  $\delta v \rightarrow 0$  при  $x \rightarrow \infty$ .

Дальнейший анализ решения можно сделать при двух допущениях, проверяемых в конце этого анализа: 1) интенсивность вихря имеет порядок  $s \sim \sigma/\mu l$ , и следовательно, предельная скорость  $v_0 \sim cl^2 \sim \sigma l/\mu$ ; 2) уравнения пограничного слоя для  $\delta v$  являются линейными уравнениями.

При выполнении этих условий в силу линейности уравнений и граничных условий относительно  $\delta v$  из (1.2) — (1.5) следует точный вид решения

$$\delta v = \frac{1}{\sqrt{\text{Re}}} \left( \frac{\sigma l}{\mu} \Phi_1 + cl^2 \Phi_2 \right) \quad (1.6)$$

причем функции  $\Phi_1, \Phi_2$  от аргументов  $x$  и  $x_2$  не зависят от числа Рейнольдса  $\text{Re}$ . С учетом первого допущения из (1.6) следует, что в пограничном слое величина  $\delta v \sim v_0/\sqrt{\text{Re}}$  пренебрежимо мала по сравнению с  $v_0$ , т. е. скорость мало меняется в пограничном слое и его уравнения действительно можно писать в линеаризованном виде, если только  $\text{Re} \gg 1$ . Следовательно, допущение о линейности уравнений пограничного слоя выполнено.

Диссипация энергии в единицу времени  $E$  в предельном течении равна

$$E_0 = 2\mu \int_V e_{ij}^\circ e_{ij}^\circ dV \sim c^2 l^5 \mu \quad (1.7)$$

где  $e_{ij}^\circ$  — тензор скоростей деформаций в предельном течении.

Диссипация энергии  $\delta E$  в пограничном слое, дополнительная к диссипации энергии  $E_0$  в предельном течении, равна

$$\delta E = 2\mu \int_V (e_{ij}^\circ + \delta e_{ij}) (e_{ij}^\circ + \delta e_{ij}) dV - E_0 \quad (1.8)$$

Учитывая вид возмущенных значений тензора скоростей деформаций  $\delta e_{ij}$ , соответствующего (1.6), и приближенно вычисляя интеграл в (1.8), при  $Re \rightarrow \infty$ , найдем

$$\delta E \approx \frac{2\mu}{\sqrt{Re}} \int_{\partial V} dS \int_0^\infty (2e_{ij}^\circ \delta e_{ij} + \delta e_{ij} \delta e_{ij}) h_1 dx \sim \frac{c^2 l^5 \mu}{\sqrt{Re}} \quad (1.9)$$

Сравнение (1.9) и (1.7) показывает, что диссипация энергии в пограничном слое пренебрежимо мала по сравнению с диссипацией энергии в предельном течении.

Проведенная общая оценка дает основание заключить, что в пределе  $Re \rightarrow \infty$  основной является диссипация энергии  $E_0$  на предельном поле скоростей  $v_0$ .

В соответствии с сохранением энергии работа касательных напряжений в единицу времени равна диссипируемой энергии внутри неподвижной поверхности  $\partial V$ . Поэтому справедливо соотношение

$$E_0 = \int_{\partial V} \sigma_\tau v_0 dS \quad (1.10)$$

Из (1.2), (1.3) и (1.7), (1.10) находим постоянную  $c$  в теореме Прандтля — Бэтчелора

$$c = \frac{\sigma}{\mu l} C \quad (1.11)$$

где  $C$  — безразмерная постоянная, зависящая только от формы области  $V$  замкнутых линий тока.

Соотношение (1.11) убеждает в правильности первого допущения, т. е. существует решение, удовлетворяющее обоим принятым допущениям. Соотношение (1.10) удобно переписать также в эквивалентном виде

$$\mu \int_V |\text{rot } v_0|^2 dV - 2\mu \int_{\partial V} k v_0^2 dS = \int_{\partial V} \sigma_\tau v_0 dS \quad (1.12)$$

где  $k$  — кривизна линии тока на поверхности  $\partial V$ .

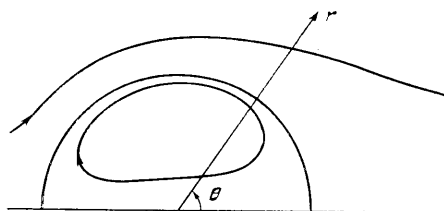
Для шара радиуса  $a$

$$|\text{rot } v_0| = cy, \quad v_0|_{\partial V} = \frac{1}{3} c a y$$

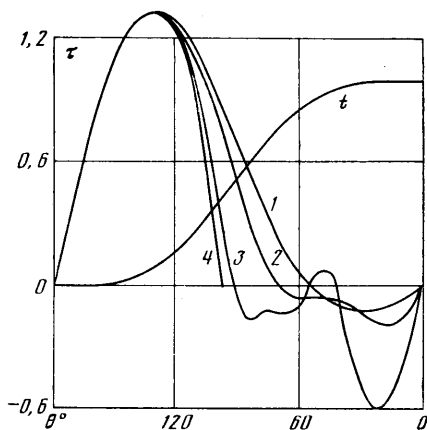
интегралы в (1.12) легко вычисляются и для постоянной  $c$  получим

$$C = \frac{c \mu a}{\sigma} = \frac{5}{4} \int_0^\pi \tau \sin^2 \theta d\theta \quad (1.13)$$

В качестве примера применения изложенного метода ниже построено асимптотическое решение задачи обтекания капли одной жидкости пото-



Фиг. 1



Фиг. 2

ком другой жидкости. В пределе, когда вязкость  $\mu_-$  внутри капли достаточно велика по сравнению с вязкостью  $\mu_+$  снаружи капли, можно пренебречь малой скоростью поверхности капли и получить внешнюю задачу обтекания твердого тела. В этом пределе касательное напряжение  $\sigma_\tau$  оказывается равным касательному напряжению на поверхности твердого тела и не зависит от структуры течения внутри капли.

По функции  $\sigma_\tau$ , известной из эксперимента и численных расчетов для обтекания твердого шара, будет получено асимптотическое при  $Re \gg 1$  решение внутри сферической капли в соответствии с теоремой о предельном распределении вихря внутри области замкнутых линий тока и замыкающим энергетическим соотношением.

**2. Предельная краевая задача.** Рассмотрим стационарное движение сферической жидкой капли в безграничной жидкости, покоящейся на бесконечности (фиг. 1). Жидкости считаем вязкими, несжимаемыми. Пусть  $v_+$ ,  $\omega_+$  — соответственно векторы скорости и вихря движения жидкости вне капли,  $\mu_+$ ,  $\nu_+$  — динамическая и кинематическая вязкости,  $\rho_+$  — плотность жидкости вне капли. Соответствующие характеристики движения жидкости внутри капли отметим индексом минус.

В сферической системе координат векторы скорости имеют только две отличные от нуля компоненты, а у векторов вихря  $\omega_+$ ,  $\omega_-$  только одна компонента отлична от нуля. Внутри и вне капли поле скоростей подчиняется системе уравнений Навье — Стокса, в соответствии с которой

$$\operatorname{div} v_{\pm} = 0, \quad \operatorname{rot} v_{\pm} = \omega_{\pm}, \quad (v_{\pm} \nabla) \omega_{\pm} = \nu_{\pm} \Delta \omega_{\pm} \quad (2.1)$$

На поверхности сферической капли радиуса  $a$  заданы четыре условия: равенства нулю нормальных скоростей, непрерывность тангенциальной скорости  $v$  и касательного напряжения

$$v_{\pm n} = 0, \quad v_+ = v_-, \quad \tau_+ = \tau_- \quad (2.2)$$

где касательные напряжения  $\tau_+$  вне капли и  $\tau_-$  внутри нее выражаются через компоненты вихря и скорости

$$\tau_{\pm} = \mu_{\pm} (\omega_{\pm} - v_{\pm} / a)$$

Кроме того, на бесконечности должно выполняться условие  $v_+ \rightarrow v_{\infty}$ .

Введем безразмерные координаты  $x'$ , скорости  $v_{\pm}'$ , вихри  $\omega_{\pm}'$  и касательное напряжение  $\tau_{\pm}'$

$$\begin{aligned} x &= x' a, & v_+ &= v_{\infty} v_+', & \omega_+ &= v_{\infty} \omega_+' / a \\ v_- &= R v_{\infty} v_-', & \omega_- &= R v_{\infty} \omega_-' / a, & \tau_+ &= \sigma \tau_+' \end{aligned} \quad (2.3)$$

$$Re_+ = a v_{\infty} / \nu_+, \quad R = \sqrt{Re_+} \mu_+ / \mu_-, \quad \sigma = \mu_+ v_{\infty} \sqrt{Re_+} / a \quad (2.4)$$

Тогда граничные условия (1.2) примут вид

$$v_{\pm n}'=0, \quad v_+'=Rv_-' , \quad \omega_-' - 2v_-' = \tau_+' \quad (2.5)$$

В пределе при  $R \rightarrow 0$  для  $v_+'$  из (2.1) и (2.5) получается краевая задача для обтекания твердого шара

$$\begin{aligned} \operatorname{div} \mathbf{v}_+' &= 0, \quad \operatorname{rot} \mathbf{v}_+' = \boldsymbol{\omega}_+' \\ (\mathbf{v}_+' \nabla) \boldsymbol{\omega}_+' &= \frac{1}{\operatorname{Re}_+} \Delta \boldsymbol{\omega}_+' \end{aligned} \quad (2.6)$$

$$v_{\pm n}'=0, \quad v_+'=0; \quad \mathbf{v}_+' \rightarrow \mathbf{i}, \quad r \rightarrow \infty$$

где  $\mathbf{i}$  — единичный вектор, направленный по скорости потока в бесконечности.

Из (2.6) определяется предел касательного напряжения  $\tau_+'$  при  $R \rightarrow 0$ , равный касательному напряжению на твердом шаре  $\tau(\theta, \operatorname{Re}_+)$ , где  $\theta$  — угол с осью симметрии.

На фиг. 2 изображены зависимости  $\tau(\theta)$  при различных числах  $\operatorname{Re}_+$ . Цифрами 1 и 2 помечены зависимости, приведенные в [7] при  $\operatorname{Re}_+=50$  и 150. Зависимость 3 при  $\operatorname{Re}_+=500$  взята из работы [8]. Зависимость 4 построена по экспериментальным данным Фэйджа, приведенным в [9] при  $\operatorname{Re}=78\,600$ .

Для течения внутри капли при  $R \rightarrow 0$  получим следующую краевую задачу:

$$\operatorname{div} \mathbf{v}_-'=0, \quad \operatorname{rot} \mathbf{v}_-' = \boldsymbol{\omega}_-' , \quad (\mathbf{v}_-' \nabla) \boldsymbol{\omega}_-' = \varepsilon_0^2 \Delta \boldsymbol{\omega}_-' \quad (2.7)$$

$$v_{-n}'=0, \quad \omega_-' - 2v_-' = \tau(\theta, \operatorname{Re}_+) \quad (2.8)$$

$$\varepsilon_0^2 = \frac{\rho_- v_-^2}{\rho_+ v_+^2} \operatorname{Re}_+^{-2} = \frac{1}{\operatorname{Re}}$$

Течение внутри зависит только от функции  $\tau(\theta, \operatorname{Re}_+)$  и параметра  $\varepsilon_0$ , связанного с внутренним числом Рейнольдса  $\operatorname{Re}$ . Для безразмерной скорости  $v_-'$  из (2.7) вытекает уже рассмотренная в разд. 1 краевая задача с граничным условием (1.3). Вихрь внутри капли можно представить в виде

$$\boldsymbol{\omega}_- = y c (1 + \delta \boldsymbol{\omega}), \quad \boldsymbol{\omega}_-' = y' C (1 + \delta \boldsymbol{\omega}), \quad y' = y/a \quad (2.9)$$

где постоянные  $c$  и  $C$  определяются из энергетического соотношения (1.13).

Величина  $\delta \boldsymbol{\omega}$  и соответствующая ей величина  $\delta v$  определяются в главном приближении из линейного уравнения пограничного слоя, которое описывает конвективную диффузию  $\delta \boldsymbol{\omega}$  в поле скоростей вихря Хилла, причем в пограничном слое  $\delta v \sim \varepsilon_0$ ,  $\delta \boldsymbol{\omega} \sim 1$ .

Аналогично линейность уравнений пограничного слоя имеет место для течения около свободной поверхности [3, 10, 11]. Явление отрыва в этих условиях выражено существенно слабее, чем на твердой поверхности, где  $\delta v \sim 1$ ,  $\delta \boldsymbol{\omega} \sim 1/\varepsilon_0$ .

В [12] было введено безразмерное число  $\sqrt{\Omega} = ca^2/v_\infty$ , характеризующее интенсивность внутренней циркуляции в капле. Проведено исследование зависимости деформации капли от  $\Omega$  и числа Вебера. Энергетическое соотношение (1.12) дает выражение параметра  $\Omega$  через данные задачи.

Для сферической капли это замыкающее соотношение имеет следующий вид:

$$\frac{\sqrt{\Omega}}{R} = C = \frac{5}{4} \int_0^\pi \tau(\theta, \operatorname{Re}_+) \sin^2 \theta d\theta \quad (2.10)$$

3. Уравнения для функции тока и вихря внутри капли. Для исследования уравнений конвективной диффузии вихря (2.7) внутри сферической капли удобно ввести естественные ортогональные координаты Кронига, Бринка [13]

$$\begin{aligned} x_1 &= \frac{1}{2} r^2 \sin^2 \theta (1-r^2), & x_2 &= \frac{r^4 \cos^4 \theta}{4(2r^2-1)} \\ h_1 &= \frac{1}{r \sin \theta \sqrt{\Delta}}, & h_2 &= \frac{(2r^2-1)^2}{r^3 \cos^3 \theta \sqrt{\Delta}}, & h_3 &= r \sin \theta \\ \Delta &= (1-r^2)^2 \cos^2 \theta + (2r^2-1)^2 \sin^2 \theta \end{aligned} \quad (3.1)$$

где  $h_1, h_2, h_3$  — коэффициенты Ламе, линии  $x_1 = \text{const}$  определяют линии тока для вихря Хилла внутри сферы, линии  $x_2 = \text{const}$  — ортогональное семейство линий.

Введем функцию тока  $\psi$  и завихренность  $\omega_-'$  внутри капли, соответствующие полю скорости  $v_-'$

$$\psi = C({}^1/5 x_1 + \delta\psi), \quad \omega_-' = r \sin \theta C(1 + \delta\omega) \quad (3.2)$$

где первое слагаемое в выражении для функции тока определяет течение вихря Хилла с интенсивностью  $C$ , а второе — течение с завихренностью  $\delta\omega$ . Множитель  $C$  подлежит определению.

На границе капли компонента  $v_1$  скорости  $v_-'$  равна нулю, а вторая компонента  $v_2$  находится из соотношения

$$v_2 = \frac{1}{h_1 h_3} \frac{\partial \psi}{\partial x_1} = \frac{C}{5} \sin \theta + \delta v, \quad \delta v = \sin \theta \frac{\partial \delta\psi}{\partial x_1} \quad (3.3)$$

Краевая задача (2.7) через функции  $\delta\psi$  и  $\delta\omega$  запишется следующим образом:

$$\begin{aligned} \frac{\partial}{\partial x_1} \left( \frac{h_2}{h_1 h_3} \frac{\partial \delta\psi}{\partial x_1} \right) + \frac{\partial}{\partial x_2} \left( \frac{h_1}{h_2 h_3} \frac{\partial \delta\psi}{\partial x_2} \right) &= -h_1 h_2 h_3 \delta\omega \\ \frac{D({}^1/5 x_1 + \delta\psi, \delta\omega)}{D(x_1, x_2)} &= \frac{\varepsilon^2}{5h_3^2} \left[ \frac{\partial}{\partial x_1} \left( \frac{h_2 h_3^3}{h_1} \frac{\partial \delta\omega}{\partial x_1} \right) + \frac{\partial}{\partial x_2} \left( \frac{h_1 h_3^3}{h_2} \frac{\partial \delta\omega}{\partial x_2} \right) \right] \end{aligned} \quad (3.4)$$

$$\varepsilon^2 = 5\varepsilon_0^2 / C$$

$$\delta\psi = 0, \quad C \left( \delta\omega + \frac{3}{5} - \frac{2}{\sin \theta} \delta v \right) = \frac{\tau}{\sin \theta}, \quad x_1 = 0$$

Ниже исследуется решение краевой задачи (3.4) при  $\varepsilon \ll 1$ , методом сращивания асимптотических разложений [14].

4. Уравнения пограничного слоя. Введем внутреннюю переменную  $x = x_1/\varepsilon$  и разобьем область пограничного слоя  $x_1 \lesssim \varepsilon$  на четыре области. (Аналогичное разбиение выполнено в [15] при интегрировании уравнений нестационарной конвективной диффузии при больших числах Пекле).

В первой области  $1-r \lesssim \varepsilon$ ,  $\sin \theta \gg \varepsilon^{1/2}$ , собирая главные по  $\varepsilon$  члены, получим

$$\frac{\partial \delta\omega}{\partial x_2} = \frac{h_2 h_3}{h_1} \frac{\partial^2 \delta\omega}{\partial x^2}, \quad x_2 = \frac{1}{4} \cos^4 \theta \quad (4.1)$$

Во второй области вблизи оси симметрии  $r^2 \sin^2 \theta \lesssim \varepsilon$ ,  $1-r \gg \varepsilon^{1/2}$  уравнение для завихренности с точностью до главных членов по  $\varepsilon$  имеет вид

$$\frac{\partial \delta\omega}{\partial x_2} = \frac{2\varepsilon(2r^2-1)^2}{r^3(1-r^2)x} \frac{\partial}{\partial x} \left( x^2 \frac{\partial \delta\omega}{\partial x} \right), \quad x_2 = \frac{r^4}{4(2r^2-1)}$$

В переменных  $x, r$  это уравнение упрощается

$$\frac{\partial \delta\omega}{\partial r} = -\frac{2\varepsilon}{x} \frac{\partial}{\partial x} \left( x^2 \frac{\partial \delta\omega}{\partial x} \right)$$

В обеих областях функция тока  $\delta\omega$  удовлетворяет уравнению

$$\frac{\partial^2 \delta\psi}{\partial x^2} = -(h_1 h_3)^2 \delta\omega = -\frac{\delta\psi}{\Delta} \quad (4.2)$$

В третьей и четвертой областях, представляющих окрестности носовой и кормовой точек капли, уравнения (3.4) удобно записать в переменных  $\xi, \eta$

$$r = 1 - \varepsilon^{1/2} \xi, \quad \sin \theta = \varepsilon^{1/2} \eta, \quad x = \xi \eta^2 \quad (4.3)$$

$$\frac{\partial^2 \delta \psi}{\partial \xi^2} + \frac{\partial^2 \delta \psi}{\partial \eta^2} - \frac{1}{\eta} \frac{\partial \delta \psi}{\partial \eta} = -\varepsilon' \eta^2 \delta \omega$$

$$\frac{D({}^{1/5}x + \delta \psi / \varepsilon, \delta \omega)}{D(\xi, \eta)} = O(\varepsilon'^{1/2})$$

Решение последнего уравнения (4.3) с точностью до  $\varepsilon^{4/3}$  имеет вид

$$\delta \omega = f({}^{1/5}x + \delta \psi / \varepsilon)$$

согласно которому завихренность внутри областей 3 и 4 переносится вдоль линий тока без изменения.

**5. Решение уравнений пограничного слоя.** Уравнение (4.1), определяющее конвективную диффузию вихря в первой области, можно переписать в виде уравнения типа теплопроводности для функции  $\delta \omega(t, x)$

$$\frac{\partial \delta \omega}{\partial t} = \frac{4}{3} \frac{\partial^2 \delta \omega}{\partial x^2}, \quad t = \frac{3}{4} \int_0^\pi \sin^3 \theta' d\theta' = \frac{1}{4} (1 + \cos \theta)^2 (2 - \cos \theta) \quad (5.1)$$

Зависимость  $t(\theta)$  представлена на фиг. 2. При изменении  $\theta$  от  $\pi$  до 0 функция  $t(\theta)$  меняется от 0 до 1.

Во второй, третьей и четвертой областях с точностью до главных членов величина  $\delta \omega$  переносится вдоль линий тока без изменения. Поэтому с этой точностью функции  $\delta \omega(0, x)$  и  $\delta \omega(1, x)$  совпадают, т. е.  $\delta \omega(t, x)$  — периодическая по  $t$  функция.

Функция  $\delta \psi$  удовлетворяет в первой и второй областях уравнению (4.2), на границе  $x=0$  — условию  $\delta \psi=0$ , а вне пограничного слоя потребуем, чтобы скорость течения не отличалась от скорости вихря Хилла, откуда

$$\partial \delta \psi / \partial x \rightarrow 0, \quad \delta \omega \rightarrow 0 \quad (x \rightarrow \infty) \quad (5.2)$$

Решение уравнения (4.2), удовлетворяющее указанным условиям, имеет вид

$$\delta \psi = \frac{\varepsilon^2}{\Delta} \int_0^\pi dx' \int_x^\infty \delta \omega(t, x'') dx'' \quad (5.3)$$

На границе сферы безразмерная скорость  $\delta v$  определяется через функцию тока (5.3) по (3.4)

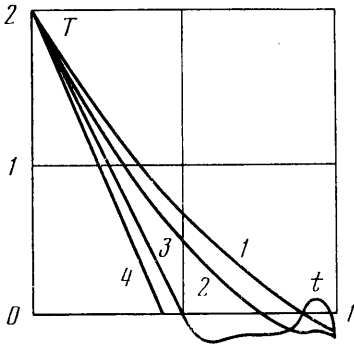
$$\delta v = \frac{\varepsilon}{\sin \theta} \int_0^\infty \delta \omega(t, x) dx \quad (5.4)$$

Функция  $\delta v / \sin \theta \sim \varepsilon$  всюду, за исключением окрестностей кормовой и носовой точек, в которых функция  $\delta \psi$  удовлетворяет уравнению (4.3), а  $\delta v / \sin \theta \sim \varepsilon^{1/2}$ . С точностью до главных по малому параметру  $\varepsilon$  членов получим вместо (2.8) упрощенное граничное условие при  $x=0$

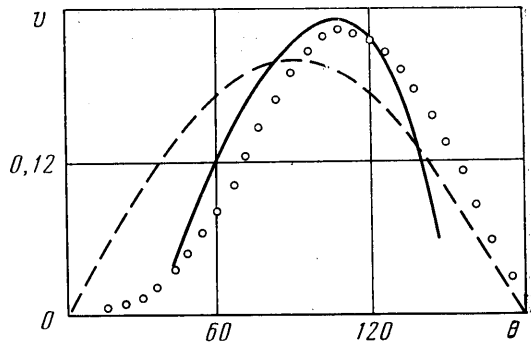
$$C(\delta \omega + {}^{3/5}) = T(t), \quad T = \tau / \sin \theta \quad (5.5)$$

Итак, требуется найти периодическое по  $t$  решение уравнения (5.1) с граничным условием (5.5) и условием на бесконечности (5.2). Такое решение нетрудно получить методом Фурье, и оно существует лишь в случае, если средняя за период величина  $\delta \omega$  равна нулю [16]. Учитывая это условие существования решения, из (5.5) найдем

$$C = \frac{5}{3} \int_0^1 T(t, \text{Re}_+) dt \quad (5.6)$$



Фиг. 3



Фиг. 4

Соотношение (5.6) эквивалентно общему соотношению (1.13), полученному из теоремы о диссипации энергии.

На фиг. 3 изображены зависимости  $T(t)$ , соответствующие касательным напряжениям  $\tau$ , изображенным на фиг. 2, для твердого шара при  $Re_+ = 50, 150, 500, 78\ 600$ .

Ниже представлены значения функции  $C(Re_+)$ , найденные численным интегрированием функций  $T(t)$ .

$Re_+$	50	150	500	78 600
$C$	1,3	1,1	0,78	0,7

6. Расчет поправки к скорости в приближении пограничного слоя. Функция  $T(t)$ , изображенная на фиг. 3 при  $Re_+ = 50$  и  $150$ ; хорошо аппроксимируется функцией

$$T = A_1 - A_2 t + A_3 \cos(2\pi t) \quad (6.1)$$

При  $Re_+ = 50$  коэффициенты имеют следующие значения:  $A_1 = 1,81$ ;  $A_2 = 2,06$ ;  $A_3 = 0,07$ .

Периодическое решение уравнения (5.1) с условием (5.5) имеет вид

$$\delta\omega = \frac{1}{C} (-A_2\delta\omega_0 + A_3\delta\omega_1) \quad (6.2)$$

где  $\delta\omega_0$  и  $\delta\omega_1$  удовлетворяют при  $x=0$  условиям

$$\delta\omega_0(t, 0) = t^{-1/2}, \quad \delta\omega_1(t, 0) = \cos(2\pi t)$$

Соответствующие решения имеют вид

$$\delta\omega_0 = \frac{1}{2\pi} \int_0^\infty y \varphi(y) \sin zy e^{-y^{3/4}} dy - \frac{2z\sqrt{t}}{\sqrt{\pi}} e^{-z^{2/3}t} + \left( t - \frac{1}{2} + 2z^2 \right) \operatorname{erfc} \frac{z}{\sqrt{t}}$$

$$\delta\omega_1 = e^{-\sqrt{\pi}z} \cos(2\pi t - \sqrt{\pi}z), \quad z = \frac{\sqrt{3}}{4} x \quad (6.3)$$

$$\varphi = \frac{1}{u} \left[ (1 - e^{-u})^{-1} - \frac{1}{2} - u \right], \quad u = \frac{y^2}{4}$$

Скорость на границе сферы вычисляется по формуле (5.4) с помощью (6.2) и (6.3), откуда находим

$$\delta v = \frac{4\epsilon}{\sqrt{3}C \sin \theta} \left[ -A_2 \left( \sqrt{\frac{t}{\pi}} \left( \frac{2}{3}t - \frac{1}{2} \right) + \frac{1}{2\pi} \int_0^\infty \varphi(y) e^{-y^{3/4}} dy \right) + \frac{A_3}{\sqrt{2\pi}} \cos \left( 2\pi t - \frac{\pi}{4} \right) \right] \quad (6.4)$$



7. Сравнение теории с численными расчетами. В соответствии с (2.10) и (1.11) для максимальной скорости на границе капли получим

$$v_{\max} = \max v_- / v_{\infty} CR \approx 0,2 \quad (7.1)$$

Асимптотика (7.1) достигается при следующем ограничении на параметр  $R$ :

$$\max v_- / v_{\infty} = 0,2CR \ll 1 \quad (7.2)$$

Известно немного работ по численным расчетам движения капель. В [7] рассчитано движение капли воды в воздухе. Наиболее подробные расчеты движения капель проведены в [17, 18].

Ниже приведены значения  $v_{\max}$ , соответствующие данным численных расчетов работ [7, 17, 18] при различных значениях числа  $Re_+$  и безразмерных параметров  $R$  и  $\epsilon_0$ :

Источник	[7]	[7]	[17]	[17]	[18]
$R$	0,13	0,22	0,07	0,007	0,7
$\epsilon_0$	0,10	0,044	0,053	0,053	0,17
$Re_+$	50	150	50	50	50
$v_{\max}$	0,22	0,18	0,21	0,71	0,22

Как видно из приведенных выше данных, все значения  $v_{\max}$  близки к теоретическому 0,2, кроме  $v_{\max} = 0,71$ . Причина этого единственного несоответствия обсуждается в разд. 8.

В целом изложенная теория согласуется с расчетами [7, 17, 18].

Формула (7.1) может служить простым тестом для проверки правильности численных расчетов при условиях  $\epsilon \ll 1$  и (7.2).

На фиг. 4 проведено сравнение скорости на границе сферы, полученной теоретически с помощью (3.4) и (6.4), с численными данными [7] при  $Re_+ = 50$ ,  $R = 0,129$ ,  $\epsilon = 0,19$ . Штриховая линия — главное приближение, сплошная — с учетом  $\epsilon$ , точки — данные [7].

8. Критерии подобия. Из теории подобия известно, что задача о стационарном движении сферической капли в вязкой несжимаемой жидкости имеет три безразмерных критерия подобия [19, 20], за которые удобно выбрать

$$Re_+, \quad R = \frac{\mu_+}{\mu_-} Re_+^{1/2}, \quad \epsilon_0^2 = \frac{\rho_- v_-^2}{\rho_+ v_+^2} Re_+^{-3/2} \quad (8.1)$$

Первый параметр определяет толщину пограничного слоя вне капли, второй — интенсивность вихря внутри капли и третий — толщину пограничного слоя внутри капли.

При ограничении (7.2) на  $R$  скорость внутри капли  $v_-$ , отнесенная к  $v_{\infty} R$ , находится из решения краевой задачи (2.7), в которую входят только два параметра:  $Re_+$  и  $\epsilon_0$ , т. е. отношение  $v_- / v_{\infty} R$  зависит только от двух параметров  $Re_+$  и  $\epsilon_0$ . Безразмерные характеристики течения вне капли зависят только от  $Re_+$ .

Полученный вывод существенно упрощает теоретическое и экспериментальное исследование задачи движения капель в вязкой жидкости.

Из сказанного, в частности, следует, что величина  $v_{\max}$  зависит только от  $Re_+$  и  $\epsilon_0$ . Однако из данных численных расчетов работы [17], помещенных в третьем и четвертом столбцах таблицы, видно, что для одних и тех же значений  $Re_+$  и  $\epsilon_0$  получены два различных значения  $v_{\max}$ . Возможно это соответствует двум решениям одной и той же краевой задачи (2.7).

Вопрос о возможной неединственности требует дополнительного исследования.

Представленные здесь расчеты справедливы при ограничении (7.2), т. е. при достаточно малом  $R$ , когда скорость внутренней циркуляции существенно меньше скорости поступательного движения капли. Противоположный случай, когда  $R$  достаточно велико, изучен в [6]. Предель-

ное течение в этом случае совпадает с течением вихря Хилла, в котором скорость внутренней циркуляции на границе сферы непрерывно снижается со скоростью потенциального обтекания сферы. Уравнения пограничного слоя оказываются линейными не только внутри капли, но и вне ее, а скорость падения капель находится по диссипации энергии на течении идеальной жидкости.

#### ЛИТЕРАТУРА

1. *Batchelor G. K.* On steady laminar flow with closed streamlines at large Reynolds number // *J. Fluid Mech.* 1956. V. 1. Pt 2. P. 177–190.
2. *Пухначев В. В.* Неклассические задачи теории пограничного слоя // Новосибирск: Изд-во Новосиб. ун-та, 1979. 74 с.
3. *Бэтчелор Дж.* Введение в динамику жидкости. М.: Мир, 1973. 758 с.
4. *Лаврентьев М. А., Шабар Б. В.* Проблемы гидродинамики и их математические модели. М.: Наука, 1977. 407 с.
5. *Wood W. W.* Boundary layers whose streamlines are closed // *J. Fluid Mech.* 1957. V. 2. Pt 1. P. 77–88.
6. *Harper J. F., Moore D. W.* The motion of a spherical liquid drop at high Reynolds number // *J. Fluid Mech.* 1968. V. 32. Pt 2. P. 367–391.
7. *Le Clair B. P., Hamielec A. E., Pruppacher H. R., Hall W. D.* A theoretical and experimental study of the internal circulation in water drops falling at terminal velocity in air // *J. Atmosph. Sci.* 1972. V. 29. № 4. P. 728–740.
8. *Rimon G., Cheng S. I.* Numerical solution of a uniform flow over a sphere at intermediate Reynolds numbers // *Phys. Fluids.* 1969. V. 12. № 5. P. 949–959.
9. *Tomotika S., Imai I.* The distribution of laminar skin friction on a sphere placed in a uniform stream // *Proc. Phys. Math. Soc. Japan.* 1936. V. 20. № 3. P. 288–303.
10. *Левич В. Г.* Физико-химическая гидродинамика. М.: Физматгиз, 1959. 699 с.
11. *Moore D. W.* The boundary layer on a spherical gas bubbles // *J. Fluid Mech.* 1963. V. 16. Pt 2. P. 161–176.
12. *Петров А. Г.* Функция Лагранжа для вихревых течений и динамика деформированных капель // *ПММ.* 1977. Т. 41. Вып. 1. С. 79–94.
13. *Kronig R., Brink J.* On the theory of extraction from falling droplets // *Appl. Sci. Res. A.* 1951. V. 2. № 2. P. 142–154.
14. *Коул Дж.* Методы возмущений в прикладной математике. М.: Мир, 1972. 274 с.
15. *Головин А. М., Животоягин А. Ф.* Нестационарный конвективный массоперенос внутри капли при наличии объемной химической реакции // *ПММ.* 1983. Т. 47. Вып. 5. С. 771–780.
16. *Тихонов А. Н., Самарский А. А.* Уравнения математической физики. М.: Наука, 1972. 735 с.
17. *Ривкинд В. Я., Рыскин Г. М.* Структура течения при движении сферической капли в жидкой среде в области переходных чисел Рейнольдса // *Изв. АН СССР. МЖГ.* 1976. № 1. С. 8–15.
18. *Ривкинд В. Я., Рыскин Г. М., Фишбейн Г. А.* Обтекание сферической капли в переходной области чисел Рейнольдса // *ПММ.* 1976. Т. 40. Вып. 4. С. 741–745.
19. *Седов Л. И.* Методы подобия и размерности в механике. М.: Наука, 1977. 438 с.
20. *Гонор А. Л., Ривкинд В. Я.* Динамика капли // *Итоги науки и техники. Сер. Механика жидкости и газа.* М.: ВИНТИ, 1982. Т. 17. С. 86–189.

Москва

Поступила в редакцию  
2.X.1985